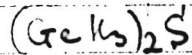
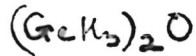


Geg Hb O

Б99-6343-IV

1969



17 Б77. Инфракрасные спектры поглощения и структуры $(GeH_3)_2O$ и $(GeH_3)_2S^\pm$. Goldfarb T. D., Sujishi S. The infrared spectra and structures of $(GeH_3)_2O$ and $(GeH_3)_2S^\pm$. «Internat. Sympos. Molec. Struct. and Spectrosc. Tokyo, 1962». S. I., s. a., А307/1—А307/4 (англ.)

Исследованы ИК-спектры поглощения $(H_3Ge)_2O$, $(H_3Ge)_2S$, $(D_3Ge)_2O$ и $(D_3Ge)_2S$. Сопоставляя результаты расчета и эксперим. данные по величинам расхождения в (см^{-1}) максимумов P - и R -ветвей ряда полос параллельного типа в полученных спектрах, авторы пришли к выводу, что в $(H_3Ge)_2O$ $\angle GeOGe = 108^\circ \pm 12^\circ$, а в $(H_3Ge)_2S$ $\angle GeSGe = 112^\circ \pm 10^\circ$. Н. Ч.

ИК спектры

X. 1963.17

1962

ВФ - 6343 - IV

(GeH₃)₂O
 (GeH₃)₂S
 (GeH₃)₂S

5 Д172. ИК-спектры и структура (GeH₃)₂O и (GeH₃)₂S. Goldfarb T. D., Sujishi S. The infrared spectra and structures of (GeH₃)₂O and (GeH₃)₂S. «Internat. Sumpos. Molec. Struct. and Spectrosc. Tokyo, 1962». S. I., s. a., A307/1—A307/4 (англ.)

В области 280—4000 см⁻¹ получены ИК-спектры поглощения дигермилового эфира и дигермилсульфида и их полностью дейтерированных аналогов. Данна интерпретация полос поглощения, основанная на сравнении полученных спектров друг с другом и со спектрами родственных соединений. На основе ф-лы Жерарда и Денисона вычислены длины связей Ge—O и Ge—S и углы Ge—O—Ge и Ge—S—Ge, которые оказались равными, соответственно (1,88±0,06) Å и (2,22±0,02) Å, (108°±12°) и (112°±10°). А. Сидоров

Ф. 1963. 58

1964

24 Б158. Колебательные спектры и структуры дигермилового эфира и дигермилсульфида. Goldfarb Theodore D., Sujishi Sei. Vibrational spectra and structures of digermyl ether and digermyl sulfide. «J. Amer. Chem. Soc.», 1964, 86, № 9, 1679—1683 (англ.)

Исследованы ИК-спектры паров $(\text{GeH}_3)_2\text{O}$, $(\text{GeD}_3)_2\text{O}$, $(\text{GeH}_3)_2\text{S}$ и $(\text{GeD}_3)_2\text{S}$, а также ИК-спектры суспензий $(\text{GeH}_3)_2\text{O}$ и $(\text{GeH}_3)_2\text{S}$ в твердом N_2 при 20°K и спектры комб. расс. $(\text{GeH}_3)_2\text{S}$. Приведено полное отнесение всех полученных спектров. Вал. кол. Ge—H (симм. и

асимм.) расположены при $2132—2106$ и $2107—2097 \text{ см}^{-1}$, вал. кол. Ge—D — при $1550—1475$ и 1499 см^{-1} ; деф. кол. в группах GeH_3 — сильный дуплет в области $823—789 \text{ см}^{-1}$ (вырождается при низких т-рах) и слабые полосы в областях $930—865$ и $689—577 \text{ см}^{-1}$ (маятниковые кол.); деф. кол. в группах GeD_3 — сильный дуплет при $610—594$ и $601—587 \text{ см}^{-1}$ и слабые полосы в областях $660—580$ и $525—425 \text{ см}^{-1}$ (маятниковые кол.). Вал. кол. Ge—X—Ge расположены: $(\text{GeH}_3)_2\text{O}$ $878—872 \text{ см}^{-1}$, $(\text{GeD}_3)_2\text{O}$ 884 и 875 см^{-1} (дуплет), $(\text{GeH}_3)_2\text{S}$, $412—408$ и 382 см^{-1} и $(\text{GeD}_3)_2\text{S}$ 436 и 380 см^{-1} , деф. кол. связи Ge—S—Ge поглощают при 110 см^{-1} . Для установления

 $(\text{GeH}_3)_2\text{O}$ $(\text{GeH}_3)_2\text{S}$

Синт

2

1

9642

1

1300

1

x. 1964. 24

Суммы исследуемых молекул проведено сопоставление числа обнаруженных экспериментально полос и числа полос, активных в ИК-спектрах линейных и изогнутых моделей этих молекул. Наличие двух полос вал. кол. Ge—S в спектрах $(\text{GeH}_3)_2\text{S}$ и $(\text{GeD}_3)_2\text{S}$ заставляет считать их молекулы изогнутыми (симметрия C_{2v} , C_{2s} или C_s). По мнению авторов, изогнутую форму имеют также и молекулы $(\text{GeH}_3)_2\text{O}$ и $(\text{GeD}_3)_2\text{O}$, несмотря на отсутствие в их спектрах отчетливых полос симм. вал. кол. Ge—O из-за их малой интенсивности. Из данных по частотам вал. и деф. кол. Ge—S в $(\text{GeH}_3)_2\text{S}$ вычислен угол Ge—S—Ge, равный 108° . Приближенный расчет углов в молекулах $(\text{GeH}_3)_2\text{O}$ и $(\text{GeH}_3)_2\text{S}$, проведенный по величинам $\Delta\nu$ между P - и R -ветвями полосы симм. деф. кол. GeH_3 , приводит к значениям углов $\text{Ge—O—Ge} = 111^\circ$ ($+26, -18^\circ$), и $\text{Ge—S—Ge} = 116^\circ$ ($+21, -13^\circ$). Различие между формой молекул $(\text{GeH}_3)_2\text{O}$ (угол $\text{Ge—O—Ge} = 111^\circ$) и $(\text{SiH}_3)_2\text{O}$ (угол $\text{Si—O—Si} = 170^\circ$) авторы объясняют тем, что в первом случае отсутствует π -связь ($p \rightarrow d$), которая играет существенную роль в молекуле $(\text{SiH}_3)_2\text{O}$. Описан метод синтеза $(\text{GeH}_3)_2\text{O}$ высокой чистоты при взаимодействии $(\text{GeH}_3)_2\text{S}$ с HgO при низких температурах.

Ю. Киссин

$(\text{GeH}_3)_2\text{O}$

1968

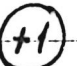
ИК-КР-
спектры

Строение

7 Б230. Исследования химии гермила. Часть VII.
Колебательные спектры дигермилового эфира, метокси-
германа и метилтиогермана. Cradock S. Studies in
germyl chemistry. Part VII. Vibrational spectra of di-
germyl ether, methoxygermane, and methylthiogermane.
«J. Chem. Soc.», 1968, A, № 6, 1426—1431 (англ.)

Исследованы ИК-спектры в области 33—4000 cm^{-1} и
спектры КР молекул $(\text{GeH}_3)_2\text{O}$, GeH_3OCH_3 , GeH_3OCD_3
и GeH_3SCH_3 . Дано отнесение наблюдаемых полос к основ-
ным колебаниям этих молекул, к-рое несколько отли-
чается от лит. данных, согласуется с правилом произве-
дений и результатами приближенного расчета. Показано,
что группы Ge—O—Ge, Ge—O—C и Ge—S—C в этих
молекулах нелинейные.

М. Р. Алиев



Х. 1969. 7



(GeH₃)₂O

1968

GeH₃OCH₃

GeH₃SCH₃

(GeOBe)

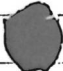
(160 ad. clipp)

C.A. 1968 69 4

14325w Germyl chemistry. VII. Vibrational spectra of digermyl ether, methoxygermane, and methylthiogermane. Cradock, S. (Mellon Inst., Pittsburgh, Pa.). *J. Chem. Soc., A* 1968, (6), 1426-31 (Eng). The vibrational spectra of (GeH₃)₂O, GeH₃OMe, GeH₃OCD₃, and GeH₃SMe have been measured, and assignments consistent with nonlinear mol. skeletons made in each case. The Ge—O—Ge bond angle in (GeH₃)₂O has been calcd. as 139 ± 6°, by using the valence force-field approach.
17 references.

RCGF

+2



8

1969

(GeH₃)₂O

7 Б133. Молекулярные структуры дигермилового эфира и дигермилсульфида. Glidewell C., Rankin D. W. H., Robiette A. G., Sheldrick G. M., Cradock S., Ebsworth E. A. V., Beagley B. The molecular structures of digermyl ether and digermal sulphide. «Inorgan. and Nucl. Chem. Letters», 1969, 5, № 5, 417—419 (англ.)

Электронографически в газовой фазе с применением сектор-фотометрической методики исследовано строение молекул $(\text{GeH}_3)_2\text{O}$ и $(\text{GeH}_3)_2\text{S}$. Расстояние Ge—H равно 1,53 Å, Ge—O 1,774 Å, Ge—S 2,205 Å, углы $\angle \text{GeOGe}$ 125,6°, $\angle \text{GeSGe}$ 99,1.

И. Ронова

строение

Х. 1970. 7



1970

(GeH₃)

90

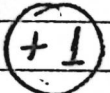
16 Б84. Молекулярные структуры дигермилового эфира и дигермилсульфида, определенные электронографически в газовой фазе. Glidewell C., Rankin D. W. H. Robiette A. G., Sheldrick G. M., Beagley B., Cradock S. Molecular structures of digermyl ether and digermyl sulphide in the gas phase, studied by electron diffraction. «J. Chem. Soc.», 1970, A, № 2, 315—317 (англ.).

Методом газовой электронографии исследовано строение дигермилового эфира ($\text{GeH}_3)_2\text{O}$ (I) и дигермилсульфида ($\text{GeH}_3)_2\text{S}$ (II). Основные межъядерные расстояния, среднеквадратичные амплитуды колебания и углы, найденные в предположении, что в обеих молеку-

гомер.
ст - ра

X. 1970.

16



лах группы GeH_3 обладают симметрией C_{3v} , а оси C_3 проходят вдоль связей Ge—O(S), равны: молекула I Ge—O 1,766(0,004), 0,046(0,007), Ge—H 1,531 (0,011), 0,056(0,016), Ge...Ge 3,154(0,005), 0,085(0,004) Å, углы HGeH 106,4(1,9)°, GeOGe 126,5(0,3)°; молекула II Ge—S 2,209(0,004), 0,038(0,005), Ge—H 1,512(0,016), 0,130 (0,014), Ge—Ge 3,358(0,008), 0,120(0,004) Å, углы HGeH 110,6 (2,0)°, GeSGe 98,9(0,1)°.

И. Ронова

1970

(Ge H₃)₂O

60185k Molecular structures of digermyl ether and digermyl sulfide in the gas phase, studied by electron diffraction. Glidewell, C.; Rankin, D. W. H.; Robiette, Alfred G.; Sheldrick, George M.; Beagley, B.; Cradock, S. (Univ. Chem. Lab., Cambridge, Engl.). *J. Chem. Soc. A* 1970, (2), 315-17 (Eng). The structures of the title compds. have been detd. in the gas phase by the sector microphotometer method of electron diffraction. The principal parameters for digermyl ether are: $r(\text{Ge-O}) = 1.766 \pm 0.004$ $r(\text{Ge-H}) = 1.531 \pm 0.001 \text{ \AA}$, angle (Ge-O-Ge) = $126.5 \pm 0.4^\circ$; for digermyl sulfide, $r(\text{Ge-S}) = 2.209 \pm 0.004$, $r(\text{Ge-H}) = 1.512 \pm 0.016 \text{ \AA}$, angle (Ge-S-Ge) = $98.9 \pm 0.3^\circ$. RCGF

23

+1

C.A.

1970. 12. 12



$(\text{CH}_3)_2\text{O}$

1972

Cradock S., Whiteford R.H.

protox.
anicpp

J. Chem. Soc. Faraday
Trans., 1972, 68, N2, 281-88.

• $\text{Cu}(\text{CH}_3)\text{O}$; III

$[(\text{GeH}_3)_2\text{O}]$

*4-8960

1975

Bosca M., Maraschini F.,
et al.

J. Chem. Soc. Dalton Trans.,
1975, N7, 596 - 98

Semiempirical calculation
on the electronic structure and
molecular energy levels of
complex compound.

$(\text{BeH}_3)_2$

1980

Гасимов Г. Т.

Бумажный Докл АН СССР, 1980, 254,
геометрия №4, 934-8.
и геометрии
изоугольни
изоугольни

см. №3 - 11

Ge_{...}, OH₂ 1982
Ge₂_{...}, OH₂ Kauffman J.W.,
Hauge R.H., et al.
Metal Bond. and Interact.
High Temp. Syst. Emphasis.
Alkali Metals. Symp. 181st Meet.
Amer. Chem. Soc., Atlanta, Ga
March 31-Apr. 3, 1981. Washington,
D.C., 1982, 355-362.
[cu. Si_{...}, OH₂; III])